

①

MS de Polos Salvajes $E \neq cte.$

f.m.m. de entubado
+ campo $H(\theta, t)$, permanente radial en el entubado

$$E(\theta, t) = H(\theta, t) \cdot e(\theta, t)$$

entubado, variable en θ y t

con un entubado que no es más constante, el valor $\neq E = E(\theta, t)$
depende de cada posición θ , y del tiempo t .
La idea básica es elegir un referencial donde la expresión de $e(\theta, t)$
se simplifique.

$$H(\theta, t) = \frac{E(\theta, t)}{e(\theta, t)}$$

$$B(\theta, t) = \mu_0 H(\theta, t) = \frac{\mu_0}{e(\theta, t)} \cdot E(\theta, t)$$

definición $p(\theta, t) = \frac{\mu_0}{e(\theta, t)}$ = "permeancia ^{del entubado} por unidad de superficie"

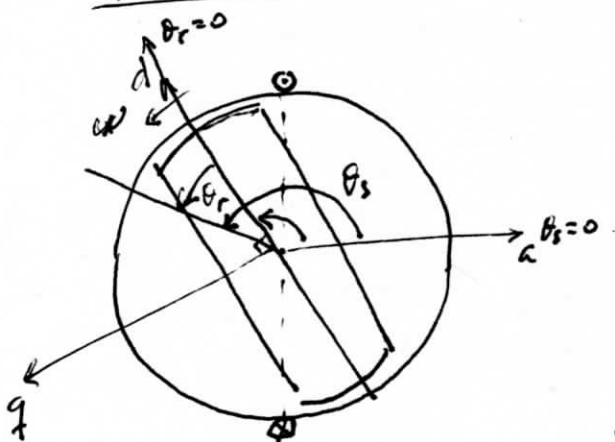
$$R = \frac{l}{\mu \cdot s} = \text{definición de reluctancia}$$

$$\rho = \frac{1}{R} = \frac{\mu \cdot s}{l} = \text{definición de permeancia}$$

$$\frac{\rho}{s} = \frac{\mu}{l} = \text{"permeancia por unidad de superficie"}$$

inducción magnética en el entubado,
supuesta permanente radial.

$$\Rightarrow B(\theta, t) = p(\theta, t) \cdot E(\theta, t)$$



Elegimos un referencial fijo en el rotor
y tal que $\theta_r = 0$ coincide con el
eje x (eje longitudinal del rotor) -

$$\theta_s = \theta_r + \alpha(t)$$

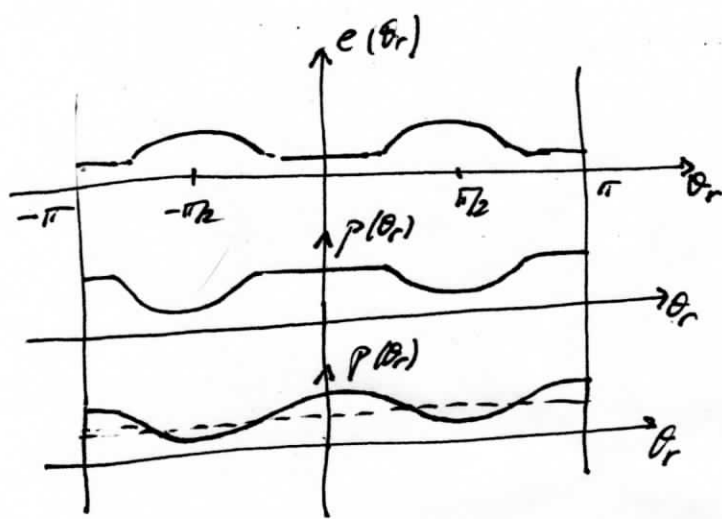
$$\alpha(t) = \Omega_s t + \alpha_0$$

$\Omega_s = \omega$
velocidad ang
frecuencia

de este forma $e(\theta, t) = e(\theta_r)$

(el referencial del rotor
fija a vel. giratoria)

respecto del rotor) el
entubado es desplazado
de t



$$p(\theta_r) = \frac{\mu_0}{e(\theta_r)}$$

$$p(\theta_r) = \sum_{k=0}^{\infty} P_{2k} \cos 2k\theta_r$$

desarrolla en los pares con valor par de θ_r

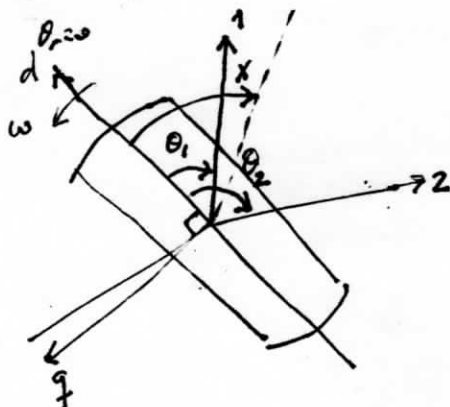
Aprox:

$$|p(\theta_r)| = P_0 + P_2 \cos 2\theta_r$$

Despreciando términos de orden superior.

Obs: A pesar de estuviendo no constante, el seguía abriendo con el campo magnético al radial.

A continuación analizaremos la situación de 2 polos, 1 polo θ_1 y polo θ_2 , situados indistintamente en el rotor o en el estator.



Observaremos las ejes de simetría (ejes de flujo) de esos polos, caracterizados por los ángulos θ_1 y θ_2 , mientras que la posición de un punto genérico del estator estará caracterizada por el ángulo x .

OBS. que al tener referido el rotor, los ángulos θ_1 y θ_2 son ordenados (si polos fijos al rotor), ó encienden en sentido horario (o sea directamente).

Lo mismo para x .

→ T.m.m. de este hilo y campo magnético creado por la bobina 1

Hip: Bobina 1 con distribución sinusoidal de espiras (conductores).

Hip → 2N₁ espiras, distribuidas sinusoidalmente.

$$\mathcal{E}_1(x,t) = N_1 i_1(t) \cos(x - \theta_1)$$

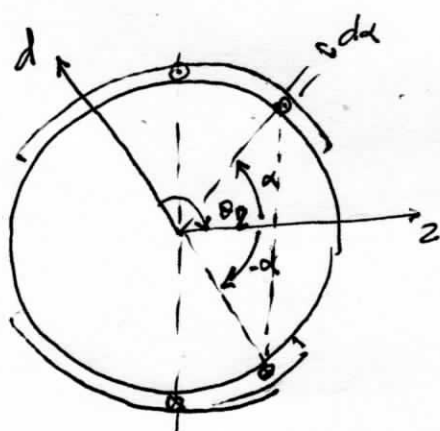
$$B_1(x,t) = \rho(x) \cdot \mathcal{E}_1(x,t) = N_1 i_1 \cos(x - \theta_1) [P_0 + P_2 \cos 2x]$$

$$B_1(x,t) = N_1 i_1 [P_0 \cos(x - \theta_1) + P_2 \underbrace{\cos(x - \theta_1) \cos 2x}_{''} + \frac{1}{2} (\cos(3x - \theta_1) + \cos(x + \theta_1))]$$

$$B_1(x,t) = N_1 i_1 \left[P_0 \cos(x - \theta_1) + \frac{1}{2} P_2 \cos(x + \theta_1) + \frac{1}{2} P_2 \cos(3x - \theta_1) \right]$$

→ Cálculo del flujo que atraviesa el bobinado 2, del campo magnético creado por la bobina 1.

Hip. Bobina 2, con 2N₂ espiras, distribuidas sinusoidalmente



$$N_2(\alpha) = N_2 \sin \alpha$$

Consideremos una "espira" ficticia comprendida entre -d+da y d-da. Esta espira es de paso 2dx (aprox) despreciando da << d.

La espira ficticia tiene $N_2(\alpha)da$ "conductores".

$$d\Phi_{21} = N_2(\alpha) da \int_{\theta_2 - \alpha}^{\theta_2 + \alpha} LR B_1(y, t) dy$$

Flujo enlazado por $N_2(\alpha)da$ "espiras" entre -d y +d, circunferencia respecto al eje de la bobina 2 situado a θ_1 de la referencia d.

(4)

$$d\psi_{21} = N_2(\alpha) dx \cdot LR N_1 i_1 \int_{\theta_2 - \alpha}^{\theta_2 + \alpha} [P_0 \cos(x - \theta_1) + \frac{1}{2} P_2 \cos(x + \theta_1) + \frac{1}{2} P_2 \cos(3x - \theta_1)] dx$$

$$\begin{aligned} d\psi_{21} = & \quad LR N_1 N_2(\alpha) i_1 dx \left[\int_{\theta_2 - \alpha}^{\theta_2 + \alpha} P_0 \cos(x - \theta_1) dx + \right. \\ & + \int_{\theta_2 - \alpha}^{\theta_2 + \alpha} \frac{1}{2} P_2 \cos(x + \theta_1) dx + \\ & \left. + \int_{\theta_2 - \alpha}^{\theta_2 + \alpha} \frac{1}{2} P_2 \cos(3x - \theta_1) dx \right] \end{aligned}$$

$$\int_{\theta_2 - \alpha}^{\theta_2 + \alpha} \cos(x - \theta_1) dx = \sin(\theta_2 - \theta_1 + \alpha) - \sin(\theta_2 - \theta_1 - \alpha) = 2 \cos(\theta_2 - \theta_1) \sin \alpha$$

$$\int_{\theta_2 - \alpha}^{\theta_2 + \alpha} \cos(x + \theta_1) dx = \sin(\theta_2 + \theta_1 + \alpha) - \sin(\theta_2 + \theta_1 - \alpha) = 2 \cos(\theta_2 + \theta_1) \sin \alpha$$

$$3 \int_{\theta_2 - \alpha}^{\theta_2 + \alpha} \cos(3x - \theta_1) dx = \sin(3\theta_2 - \theta_1 + 3\alpha) - \sin(3\theta_2 - \theta_1 - 3\alpha) = 2 \cos(3\theta_2 - \theta_1) \sin 3\alpha.$$

$$\Rightarrow \boxed{d\psi_{21} = LR N_1 N_2(\alpha) i_1 dx \left[2P_0 \cos(\theta_2 - \theta_1) \sin \alpha + \right.} \\ \left. + P_2 \cos(\theta_2 + \theta_1) \sin \alpha + \right. \\ \left. + \frac{1}{3} P_2 \cos(3\theta_2 - \theta_1) \sin 3\alpha \right]$$

Luego $\boxed{\psi_{21} = \int_{\alpha = -\pi/2}^{\alpha = \pi/2} d\psi_{21}(\alpha, t) d\alpha}$ con $N_2(\alpha) = N_2 \sin \alpha$

$$\psi_{21} = LRN_1 i_1 N_2 \left[\int_{-\pi/2}^{\pi/2} 2P_0 \cos(\theta_2 - \theta_1) \sin^2 \alpha d\alpha + \right. \\ \left. + \int_{-\pi/2}^{\pi/2} P_2 \cos(\theta_2 + \theta_1) \sin^2 \alpha d\alpha + \right. \\ \left. + \frac{1}{3} \int_{-\pi/2}^{\pi/2} P_2 \cos(3\theta_2 - \theta_1) \sin 3\alpha \sin \alpha d\alpha \right]$$

$$\int_{-\pi/2}^{\pi/2} \sin^2 \alpha d\alpha = \int_{-\pi/2}^{\pi/2} \frac{1 - \cos 2\alpha}{2} d\alpha = \frac{\pi}{2}$$

$$\int_{-\pi/2}^{\pi/2} \sin 3\alpha \sin \alpha d\alpha = \int_{-\pi/2}^{\pi/2} \frac{1}{2} [\cos 2\alpha - \cos 4\alpha] d\alpha = 0$$

$$\Rightarrow \left[\psi_{21} = \frac{\pi}{2} LRN_1 N_2 i_1 [2P_0 \cos(\theta_2 - \theta_1) + P_2 \cos(\theta_2 + \theta_1)] \right]$$

para bobinados 1 y 2 con distribución sinusoidal de espesas.

Si el bobinado 2 es concentrado (\Rightarrow polo diametral $\Rightarrow \alpha = \frac{\pi}{2}$)

$$N_2(\alpha) = \begin{cases} = N_2 & \text{si } \alpha = \frac{\pi}{2} \\ = -\frac{N_2}{2} & \text{si } \alpha = -\frac{\pi}{2} \\ = 0 & \text{para todo otro d.} \end{cases}$$

$$\Rightarrow d\psi_{21} = LRN_1 N_2 i_1 d\alpha \left[2P_0 \cos(\theta_2 - \theta_1) \sin \alpha + \right. \\ \left. + P_2 \cos(\theta_2 + \theta_1) \sin \alpha + \right. \\ \left. + \frac{1}{3} P_2 \cos(3\theta_2 - \theta_1) \sin 3\alpha \right]$$

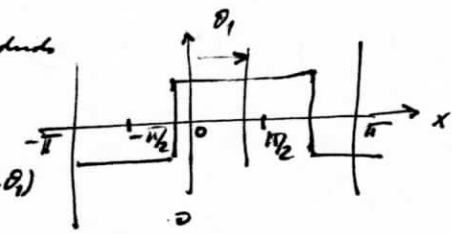
(6)

Trajan. de auto bobina y campo magnético creado por la bobina 1

Hip: Bobina 1 no distorsionada, tiene concentrado el flujo
2N₁ espiras.

$$E_1(x,t) = \int_{-L}^L N_1 i_1(t) \left[\frac{d\Phi}{dx} \right] dx$$

$$\text{Fundamental } E_{10}(x,t) = \frac{4N_1}{\pi} i_1(t) \cos(x - \theta_1)$$



En realidad va a poder desarrollarse en una serie de Fourier de formas impares

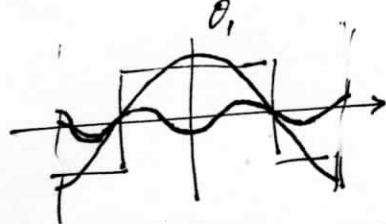
$$E_1(x,t) = \sum_{k=1}^{\infty} N_1 i_1(t) a_k \cos((2k-1)(x - \theta_1))$$

$$= N_1 i_1(t) \sum_{k=1}^{\infty} a_k \cos((2k-1)(x - \theta_1))$$

$$= N_1 i_1(t) [a_1 \cos(x - \theta_1) + a_3 \cos(3x - 3\theta_1) + \dots]$$

Hip: Si dejamos solo el fundamental

$$E_{10}(x,t) = N_1 i_1(t) \cdot \frac{4}{\pi} \cos(x - \theta_1)$$



$$\Rightarrow B_1(x,t) = \frac{4}{\pi} N_1 i_1(t) \left[I_0 \cos(x - \theta_1) + \frac{1}{2} P_2 \cos(x + \theta_1) + \frac{1}{2} P_2 \cos(3x - 3\theta_1) \right]$$

y queda el resto igual, salvo que con un coef $\frac{4}{\pi}$ delante.

Si bobina 2 con distrib. sinusoidal de conductores:

$$\Rightarrow \psi_{21} = \frac{4}{\pi} \cdot \frac{\pi}{2} L R N_1 N_2 i_1 [2P_0 \cos(\theta_2 - \theta_1) + P_2 \cos(\theta_2 + \theta_1)]$$

$$\boxed{\psi_{21} = 2 L R N_1 N_2 i_1 [2P_0 \cos(\theta_2 - \theta_1) + P_2 \cos(\theta_2 + \theta_1)]}$$

Bobina 1 diametral →
Bobina 2 distribuida sinusoidalmente.

(7)

Fuerza de retroceso y campo magnético creado por la bobina 1

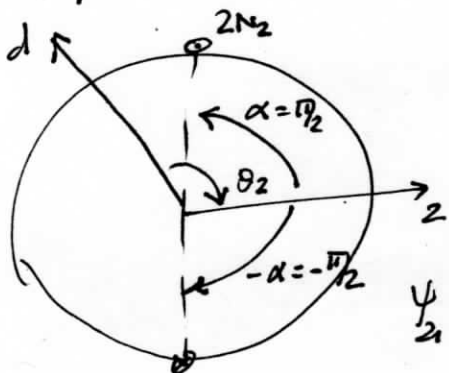
Hip. Bobina 1 distribuida sinusoidalmente.

$$B_1(x, t) = N_1 i_1 \left[P_0 \cos(x - \theta_1) + \frac{1}{2} P_2 \cos(x + \theta_1) + \frac{1}{2} P_2 \cos(3x - \theta_1) \right]$$

(Cálculo anterior).

→ Cálculo del flujo que atravesó el bobinado 2, del campo magnetico creado por la bobina 1.

Hip. Bobina 2, con $2N_2$ espiras, concentrada sobre el eje



En el cálculo anterior, el mínimo valor posible de d es $\frac{\pi}{2}$

$$\psi_{21} = d\psi_{21} = 2N_2 \int_{\theta_2 - \frac{\pi}{2}}^{\theta_2 + \frac{\pi}{2}} LR B_1(x, t) dx$$

$$\Rightarrow \psi_{21} = 2N_2 LR \int_{\theta_2 - \frac{\pi}{2}}^{\theta_2 + \frac{\pi}{2}} N_1 i_1 \left[P_0 \cos(x - \theta_1) + \frac{1}{2} P_2 \cos(x + \theta_1) + \frac{1}{2} P_2 \cos(3x - \theta_1) \right] dx$$

$$\begin{aligned} \psi_{21} &= 2LR N_1 N_2 i_1 \left[\int_{\theta_2 - \frac{\pi}{2}}^{\theta_2 + \frac{\pi}{2}} P_0 \cos(x - \theta_1) dx + \right. \\ &\quad \int_{\theta_2 - \frac{\pi}{2}}^{\theta_2 + \frac{\pi}{2}} \frac{1}{2} P_2 \cos(x + \theta_1) dx + \\ &\quad \left. \int_{\theta_2 - \frac{\pi}{2}}^{\theta_2 + \frac{\pi}{2}} \frac{1}{2} P_2 \cos(3x - \theta_1) dx \right] \end{aligned}$$

(8)

$$\int_{\theta_2 - \frac{\pi}{2}}^{\theta_2 + \frac{\pi}{2}} P_0 \cos(x - \theta_1) dx = 2 P_0 \cos(\theta_2 - \theta_1) \underbrace{\sin \frac{\pi}{2}}_{=1}$$

$$\int_{\theta_2 - \frac{\pi}{2}}^{\theta_2 + \frac{\pi}{2}} \frac{1}{2} P_2 \cos(x + \theta_1) dx = 2 \cdot \frac{1}{2} P_2 \cos(\theta_2 + \theta_1) \underbrace{\sin \frac{\pi}{2}}_{=1}$$

$$\int_{\theta_2 - \frac{\pi}{2}}^{\theta_2 + \frac{\pi}{2}} \frac{1}{2} P_2 \cos(3x - \theta_1) dx = \frac{1}{3} \frac{1}{2} P_2 \cdot 2 \cos(3\theta_2 - \theta_1) \underbrace{\sin \frac{3\pi}{2}}_{=-1}$$

$$\Rightarrow \boxed{Y_{21} = 2LRN_1N_2 c_1 \left[2P_0 \cos(\theta_2 - \theta_1) + P_2 \cos(\theta_2 + \theta_1) - \frac{1}{3} P_2 \cos(3\theta_2 - \theta_1) \right]}$$

Bobina 1 distribuida sencuadamente
 Bobina 2 concentrada le paso diametral.

(9)

Hip.: Bobina 1 concentrada, paso diametral
Bobina 2 concentrada, paso diametral

De lo anterior:

$$\Sigma_{11}(x, t) = \frac{4}{\pi} N_1 i_1 \cos(x - \theta_1)$$

$$B_1(x, t) = \frac{4}{\pi} N_1 i_1(t) \left[P_0 \cos(x - \theta_1) + \frac{1}{2} P_2 \cos(x + \theta_1) + \frac{1}{2} P_2 \cos(3x - \theta_1) \right]$$

Como la bobina 2 es concentrada:

$$\psi_{21} = 2 N_2 \int_{\theta_2 - \frac{\pi}{2}}^{\theta_2 + \frac{\pi}{2}} LR B_1(x, t) dx$$

$$\psi_{21} = \frac{4}{\pi} 2 L R N_1 N_2 i_1 \int_{\theta_2 - \frac{\pi}{2}}^{\theta_2 + \frac{\pi}{2}} \left[P_0 \cos(x - \theta_1) + \frac{1}{2} P_2 \cos(x + \theta_1) + \frac{1}{2} P_2 \cos(3x - \theta_1) \right] dx$$

Por los cálculos anteriores:

$$\boxed{\psi_{21} = \frac{4}{\pi} 2 L R N_1 N_2 i_1 \left[2 P_0 \cos(\theta_2 - \theta_1) + P_2 \cos(\theta_2 + \theta_1) - \frac{1}{3} P_2 \cos(3\theta_2 - \theta_1) \right]}$$

Amber, bobinas concentradas y de paso diametral.

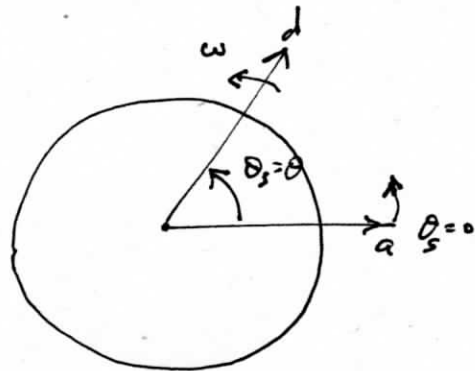
Inductancias propias del estator

Fase a

$$N_1 = N_2 = N_s$$

$$i_1 = i_2 = i_a$$

$$\theta_1 = \theta_2 = -\theta_s \quad (= -\theta) \\ \text{por simetria}$$



Hipótesis: corriente fase a distribuida sinusoidalmente

$$\psi_{aa} = \frac{\pi}{2} LR N_s^2 i_a [2 \underbrace{P_0}_{\text{"}} \cos(\theta_s - \theta_1) + \underbrace{P_2}_{\text{"}} \cos(\theta_s + \theta_1)] - 2\theta_s$$

$$\psi_{aa} = \frac{\pi}{2} LR N_s^2 i_a [2 P_0 + P_2 \cos 2\theta]$$

$$L_{aa} = \frac{\psi_{aa}}{i_a} = \underbrace{\pi L R N_s^2 P_0}_{L_{so}} + \underbrace{\frac{\pi L R N_s^2 P_2}{2} \cos 2\theta}_{L_{sv}}$$

$$\boxed{L_{aa} = L_{so} + L_{sv} \cos 2\theta}, \quad \text{con } \boxed{L_{sv} = \frac{1}{2} L_{so}}$$

Fase b: cambiar θ por $\theta - \frac{2\pi}{3}$

Fase c: " " " $\theta - \frac{4\pi}{3}$

$$\boxed{L_{bb} = L_{so} + L_{sv} \cos 2\left(\theta - \frac{2\pi}{3}\right)}$$

$$\boxed{L_{cc} = L_{so} + L_{sv} \cos 2\left(\theta - \frac{4\pi}{3}\right)}$$

Obs: Si la MS fuere de pares puros ($e = a \cos \theta$) $\Rightarrow P_2 = 0 \Rightarrow L_{sv} = 0$
 y las inductancias propias $L_{aa} = L_{bb} = L_{cc} = L_{so}$, independientes de θ

Inductancias mutuas del estator

$$N_1 = N_2 = N_3$$

$$\text{fase } a : \text{seno } 2 \Rightarrow \theta_2 = 0, \theta_2 = -\theta$$

$$\text{fase } b : " 1 \Rightarrow \theta_1 = \theta, \theta_1 = -(\theta - \frac{2\pi}{3}) = -\theta + \frac{2\pi}{3}$$

$$\psi_{21} = \frac{\pi}{2} LR N_s^2 i_b \left[2 P_0 \cos \left(-\theta + \theta - \frac{2\pi}{3} \right) + P_2 \cos \left(-\theta - \theta + \frac{2\pi}{3} \right) \right]$$

$\cos \frac{2\pi}{3} = -\frac{1}{2}$

$$\cos (2\theta - \frac{2\pi}{3})$$

$$L_{ab} = \frac{\psi_{21}}{\theta} = \frac{\pi}{2} LR N_s^2 \left[-\frac{2P_0}{2} + P_2 \cos (2\theta - \frac{2\pi}{3}) \right]$$

$$L_{ab} = -\left(\frac{\pi LR N_s^2 P_0}{2} \right) + \frac{\pi LR N_s^2 P_2}{2} \cos (2\theta - \frac{2\pi}{3})$$

$$\boxed{L_{ab} = M_{so} + L_{sv} \cos (2\theta - \frac{2\pi}{3})} \quad \text{con} \quad \boxed{M_{so} = -\frac{1}{2} L_{so}}$$

Fases b y c, modificando los ángulos θ y las corrientes:

$$\Rightarrow \boxed{\begin{aligned} L_{ba} &= L_{ab} = M_{so} + L_{sv} \cos (2\theta - \frac{2\pi}{3}) \\ L_{bc} &= L_{cb} = M_{so} + L_{sv} \cos 2\theta \\ L_{ca} &= L_{ac} = M_{so} + L_{sv} \cos (2\theta - \frac{4\pi}{3}) \end{aligned}}$$

Dobs: Si la MS fuese de polos livios ($c = 0$) $\Rightarrow P_2 = 0 \Rightarrow L_{sv} = 0$
y las inductancias mutuas:

$$L_{ba} = L_{ab} = L_{bc} = L_{cb} = L_{ca} = L_{ac} = M_{so} = -\frac{1}{2} L_{so}$$

y las inductancias cíclicas de estator:

$$L_a = L_{aa} - L_{ab} = L_{so} - \left(-\frac{1}{2} L_{so} \right) = \frac{3}{2} L_{so}$$

Inductancia propia del rotor

$$N_1 = N_2 = N_r$$

$$\ell_1 = \ell_2 = \ell_r (= \ell_f)$$

$$\theta_1 = \theta_2 = 0$$

Msf. polos salientes: "Bobina 1 y Bobina 2 concentradas diametralmente"

$$\psi_{21} = \frac{4}{\pi} 2LRN_r^2 i_r \left[2\ell_0 \underbrace{\cos(0)}_{\text{"}} + \ell_2 \underbrace{\cos(0+0)}_{\text{"}} - \frac{1}{3} \ell_2 \underbrace{\cos(70-0)}_{\text{"}} \right]$$

$$2\ell_0 + \frac{2}{3}\ell_2 = 2(\ell_0 + 2\ell_2)$$

$$\psi_{21} = \frac{16}{\pi} LRN_r^2 i_r (\ell_0 + 2\ell_2)$$

$$\boxed{L_{rr} = \frac{\psi_{21}}{i_r} = \frac{16}{\pi} LRN_r^2 (\ell_0 + 2\ell_2)} \quad L_{rr} = \text{cte, indep. de } \theta.$$

Si MS fuese de polos libres ($\ell = \text{cte}$): "Bobina 1 y Bobina 2 distribuidas"
(se admitiría distribución sinusoidal)

$$\psi_{21} = \frac{\pi}{2} LRN_1 N_2 i_1 \left[2\ell_0 \underbrace{\cos(\theta_2 - \theta_1)}_{\text{"}} + \ell_2 \underbrace{\cos(\theta_2 + \theta_1)}_{\text{"}} \right]$$

$$\psi_{21} = \frac{\pi}{2} LRN_r^2 i_r [2\ell_0 + \ell_2]$$

$$\boxed{L_{rr} = \frac{\psi_{21}}{i_r} = \frac{\pi}{2} LRN_r^2 [2\ell_0 + \ell_2]}$$

Inductancias mutuas rotor-estator

Maq. polos salientes: "bóxina 1 (rotor) concentrada y bóxina 2 (estator) distribuida simétricamente".

$$N_1 = N_r$$

$$N_2 = N_s$$

$$\varrho_1 = \varrho_r (= i_f)$$

$$\theta_1 = 0$$

$$\theta_2 = -\theta$$

$$\psi_{21} = 2LRN_1N_2i_1 \left[2P_0(\theta_2 - \theta_1) + P_2 \cos(\theta_2 + \theta_1) \right]$$

$$\psi_{21} = 2LRN_rN_s i_r [2P_0 + P_2] \cos \theta$$

$$L_{ar} = \frac{\psi_{21}}{i_r} = \underbrace{2LRN_rN_s [2P_0 + P_2]}_{M_{rs}} \cos \theta$$

$L_{at} = M_{rs} \cos \theta$ $L_{br} = M_{rs} \cos(\theta - \frac{2\pi}{3})$ $L_{cr} = M_{rs} \cos(\theta - \frac{4\pi}{3})$	$M_{rs} = 2LRN_rN_s (2P_0 + P_2)$ (polos salientes)
---	---

Si M_{rs} es de radio liso ($\epsilon = \infty$): "bóxinas 1 y 2 distorsionadas"

$$\psi_{21} = \frac{\pi}{2} LRN_1N_2i_1 [2P_0 \cos(\theta_2 - \theta_1) + P_2 \cos(\theta_2 + \theta_1)]$$

$$\psi_{21} = \frac{\pi}{2} LRN_rN_s i_r [2P_0 \cos(-\theta) + P_2 \cos(-\theta)]$$

$$L_{ar} = \frac{\psi_{21}}{i_r} = \frac{\pi}{2} LRN_rN_s \cdot 2P_0 \cos^2 \theta = \pi L R N_r N_s P_0 \cos \theta$$

$$\text{como } P_0 = \frac{\mu_0}{e} \Rightarrow \left\{ \begin{array}{l} L_{ar} = M_{rs} \cos \theta \\ L_{br} = M_{rs} \cos(\theta - \frac{2\pi}{3}) \\ L_{cr} = M_{rs} \cos(\theta - \frac{4\pi}{3}) \end{array} \right\} \left/ \frac{M_{rs} = \mu_0 \left(\frac{\pi L R}{e} \right) N_r N_s}{\cos \theta} \right.$$

Inductancias mutuas estator - amortiguador eje d.

Es lo mismo que las inductancias mutuas entre bobinados de estator y el bobinado de excitación del rotor:

Sólo cambiando:

$$\begin{cases} N_1 = N_{led} \\ \theta_1 = \theta_{led} \end{cases}, \text{ quedan iguales: } N_2 = N_s \\ \theta_2 = 0 \\ \theta_2 = -\theta \text{ (para fase a)}$$

Si MS es de polos salientes: (bobina 1 (amortiguador eje d) concentrada y bobina 2 (estator) distribuida sinusoidalmente)

Tensiones:

$$L_{ad} = M_{ds} \cos \theta, \text{ con } M_{ds} = 2LRN_rN_s(2P_0 + P_2)$$

Ahora sea

$$\boxed{\begin{aligned} L_{aled} &= M_{leds} \cos \theta, \text{ con } M_{leds} = 2LRN_{led}N_s(2P_0 + P_2) \\ L_{bled} &= M_{leds} \cos(\theta - \frac{2\pi}{3}) \\ L_{cled} &= M_{leds} \cos(\theta - \frac{4\pi}{3}) \end{aligned}}$$

Si MS es de rotor cilíndrico ($\theta = \text{cte}$), las expresiones anteriores son las mismas, sólo cambia

$$M_{leds} = \mu_0 \frac{\pi LR}{c} \cdot N_{led} N_s$$

Inductancias mutuas estator - amortiguador eje q.

Inductancias mutuas estator - amortiguador eje q. por $\theta + \frac{\pi}{2}$ y N_{led} por N_{leg}

Es lo mismo que para el eje d, cambiando θ por $\theta + \frac{\pi}{2}$ y N_{led} por N_{leg}

polos salientes

$$\boxed{\begin{aligned} L_{aq} &= M_{leg} \cos(\theta + \frac{\pi}{2}) = -M_{leg} \sin \theta \\ L_{bq} &= M_{leg} \cos(\theta + \frac{\pi}{2} - \frac{2\pi}{3}) = -M_{leg} \sin(\theta - \frac{2\pi}{3}) \\ L_{cq} &= M_{leg} \cos(\theta + \frac{\pi}{2} - \frac{4\pi}{3}) = -M_{leg} \sin(\theta - \frac{4\pi}{3}) \end{aligned}}$$

$$M_{leg} = 2LRN_{leg}N_s(2P_0 + P_2) \quad (\text{polos salientes})$$

$$\text{y } M_{leg} = \mu_0 \frac{\pi LR}{c} N_{leg} N_s \quad (\text{polos lados})$$

Inductancias propias y mutuas rotor - rotor

L_{rr} (ya calculado) : cte. $\cos \theta f(\theta)$

L_{rd} : (mutua excitacion - amortiguador eje d) : \Rightarrow cte. $\cos \theta f(\theta)$

\rightarrow ambas bobinas sobre eje d $\Rightarrow \begin{cases} \theta_1 = 0 \\ \theta_2 = 0 \end{cases}$

L_{dd} : (inductancia propia amortiguador eje d) : cte $\cos \theta f(\theta)$
 $(\theta_1 = 0)$
 $(\theta_2 = 0)$

L_{dqdg} : (inductancia propia amortiguador eje q) : cte $\cos \theta f(\theta)$
 $(\theta_1 = -\frac{\pi}{2})$
 $(\theta_2 = -\frac{\pi}{2})$

L_{hdqdg} : (mutua entre amortig. ejed y amortig. ejeq) = 0 = L_{dqhd}
 $(\text{forma angular} = \frac{\pi}{2})$

$L_{r dq} = L_{dq r} = 0$ (mutua entre bobinado de excitacion
del rotor y amortiguador ejeq.
forma angular = $\frac{\pi}{2}$)

(16)

Cambio de notación: sistema de excitación
notación f (field) en vez de r (rotor)

Ecaciones de flujos:

γ_a	L_{aa}	L_{ab}	L_{ac}	L_{af}	L_{ahd}	L_{hkg}	i_a
γ_b	L_{ba}	L_{bb}	L_{bc}	L_{bf}	L_{bhd}	L_{bkg}	i_b
γ_c	L_{ca}	L_{cb}	L_{cc}	L_{cf}	L_{chd}	L_{ckg}	i_c
γ_f	L_{fa}	L_{fb}	L_{fc}	L_{fd}	L_{fhd}	L_{fkg}	i_f
γ_{hd}	L_{hda}	L_{hdb}	L_{hdc}	L_{hdf}	L_{hd}	L_{hkg}	i_{hd}
γ_{kg}	$L_{kg\alpha}$	$L_{kg\beta}$	$L_{kg\gamma}$	L_{kgf}	$L_{kg\alpha}$	L_{kg}	i_{kg}

con

$$L_{aa} = L_{so} + L_{sv} \cos 2\theta$$

$$L_{bb} = L_{so} + L_{sv} \cos 2(\theta - \frac{2\pi}{3})$$

$$L_{cc} = L_{so} + L_{sv} \cos 2(\theta - \frac{4\pi}{3})$$

$$L_{ab} = L_{ba} = M_{so} + L_{sv} \cos (2\theta - \frac{2\pi}{3})$$

$$L_{bc} = L_{cb} = M_{so} + L_{sv} \cos 2\theta$$

$$L_{ca} = L_{ac} = M_{so} + L_{sv} \cos (2\theta - \frac{4\pi}{3})$$

$$L_{af} = L_{fa} = M_{rs} \cos \theta$$

$$L_{bf} = L_{fb} = M_{rs} \cos (\theta - \frac{2\pi}{3})$$

$$L_{cf} = L_{fc} = M_{rs} \cos (\theta - \frac{4\pi}{3})$$

$$L_{ahd} = L_{hda} = M_{hds} \cos \theta$$

$$L_{bhd} = L_{hdb} = M_{hds} \cos (\theta - \frac{2\pi}{3})$$

$$L_{chd} = L_{hdc} = M_{hds} \cos (\theta - \frac{4\pi}{3})$$

$$L_{hkg} = L_{kg\alpha} = -M_{kg\beta} \sin \theta$$

$$L_{bkg} = L_{kg\beta} = -M_{kg\alpha} \sin (\theta - \frac{2\pi}{3})$$

$$L_{ckg} = L_{kg\gamma} = -M_{kg\beta} \sin (\theta - \frac{4\pi}{3})$$

$$L_{fd} = L_{rr} = \text{cte.}$$

$$L_{fhd} = \text{cte.} = k_{hd} f$$

$$L_{hd} = \text{cte.}$$

$$L_{fkg} = L_{kgf} = 0$$

$$L_{kg} = \text{cte.}$$

$$L_{hdkd} = L_{kgkd} = 0$$